

Instituto Nacional de Astrofísica, Óptica y Electrónica.



**Maestría en Ciencias en la Especialidad de Electrónica**

## Optimización de oscilador caótico utilizando evolución diferencial

**Ciro Fabián Bermúdez Márquez**

**Asesor:** Dr. Esteban Tlelo Cuatle

- 1 Introducción
- 2 Objetivos
- 3 Fundamentos teóricos
- 4 Implementación de integradores fraccionarios
- 5 Oscilador caótico
- 6 Conclusión
- 7 Bibliografía

# Introducción

## Cálculo fraccionario

El cálculo fraccionario es una generalización de la diferenciación y la integración para ordenes no enteros del operador  ${}_a D_t^\alpha$  con  $\alpha \in \mathbb{R}$ . [1]

### Ventajas

- Describe y modela fenómenos físicos con mayor precisión.
- Poseen memoria de todos los eventos pasados.
- Es un área de oportunidad emergente.

### Desventajas

- Implementar algoritmos de orden fraccional no es trivial.
- Implementación física compleja.

# Introducción

## Áreas de impacto

- Física
- Electrónica
- Sistemas de control
- Robótica
- Procesamiento de señales
- Química
- Bio-ingiería
- Teoría del caos

# Objetivos

## Objetivo general

Diseño e implementación electrónica de integradores de orden fraccionario mediante una expansión de fracciones continuas (CFE) para su aplicación en sistemas caóticos.

## Objetivos específicos

- Analizar el método de expansión de fracciones continuas para generar una metodología de diseño en MATLAB.
- Caracterizar el error de la expansión de fracciones continuas para generar reglas de diseño.
- Diseñar e implementar en FPAA el integrador de orden fraccionario con aproximaciones de ordenes superiores.
- Diseñar e implementar de FPAA un oscilador caótico de orden fraccionario

# Fundamentos teóricos

## Derivada fraccionaria

### Definición de Grünwald–Letnikov.

$$D_t^\alpha f(t) = \lim_{h \rightarrow 0} \frac{1}{h^\alpha} \sum_{j=0}^{\infty} (-1)^j \binom{\alpha}{j} f(t - jh) \quad (1)$$

### Definición de Riemann-Louville.

$$D_t^\alpha f(t) = \frac{1}{\Gamma(n-\alpha)} \frac{d^n}{dt^n} \int_0^t \frac{f(\tau)}{(t-\tau)^{\alpha-n+1}} d\tau \quad (2)$$

# Fundamentos teóricos

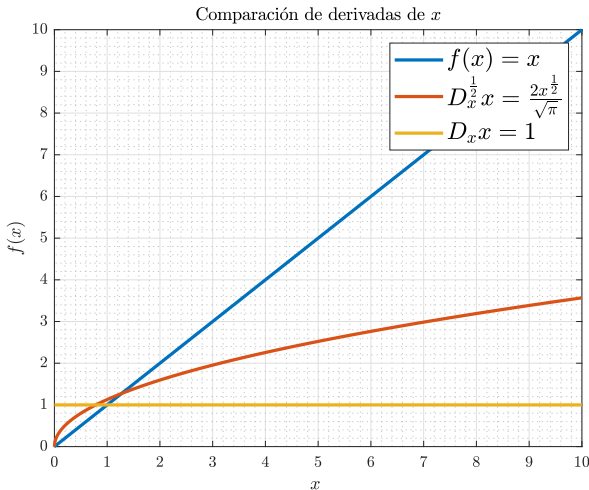


Figura 1: Comparación de derivada entera y fraccionaria.





# Fundamentos teóricos

## Expansión de fracciones continuas (CFE) definición

A una expresión de la forma:

$$a_1 + \frac{b_1}{a_2 + \frac{b_2}{a_3 + \frac{b_3}{a_4 + \ddots}}} \quad (5)$$

se le conoce como una fracción continua. En general  $a_1, a_2, a_3, \dots, b_1, b_2, b_3$  pueden ser cualquier número real o complejo, y el número de términos pueden ser finito o infinito. Una manera más conveniente de escribir la ecuación (5) es:

$$a_1 + \frac{b_1}{a_2} + \frac{b_2}{a_3} + \frac{b_3}{a_4} + \dots \quad (6)$$

Si consideramos:

$$x = s - 1 \quad (7)$$

$$(1+x)^\alpha = \frac{1}{1} - \frac{\alpha x}{1} + \frac{\frac{1(1+\alpha)}{1 \cdot 2} x}{1} + \frac{\frac{1(1-\alpha)}{2 \cdot 3} x}{1} + \frac{\frac{2(2+\alpha)}{3 \cdot 4} x}{1} + \frac{\frac{2(2-\alpha)}{4 \cdot 5} x}{1} + \dots \quad (8)$$

La ecuación (9) es la encontrada en múltiples artículos:

$$(1+x)^\alpha = \frac{1}{1} - \frac{\alpha x}{1} + \frac{(1+\alpha)x}{2} + \frac{(1-\alpha)x}{3} + \frac{(2+\alpha)x}{2} + \frac{(2-\alpha)x}{5} + \dots \quad (9)$$

# Fundamentos teóricos

## Algoritmo propuesto

El  $n$ -ésimo término de la expansión de fracciones continuas para la ecuación (8) se puede calcular utilizando la siguiente ecuación:

$$\frac{\psi(n) [\psi(n) + (-1)^n \alpha]}{(n-1)n} \quad (10)$$

donde la función  $\psi(x)$  para  $x \geq 2$ ,  $x \in \mathbb{Z}^+$  esta definida como<sup>a</sup>:

$$\psi(x) = \left\lfloor \frac{x}{2} \right\rfloor \quad (11)$$

<sup>a</sup>  $|x|$  es la función redondeo hacia el entero inferior anterior.

# Fundamentos teóricos

# Fundamentos teóricos

## Aproximación de primer y segundo orden de la CFE

La aproximación para un integrador fraccionario  $\frac{1}{s^\alpha}$  para primer y segundo orden tienen la forma:

$${}_{(c_2)}\frac{1}{s^\alpha} \approx \frac{(1-\alpha)s + (1+\alpha)}{(1+\alpha)s + (1-\alpha)} \quad (12)$$

$${}_{(c_4)} \frac{1}{s^\alpha} \approx \frac{(\alpha^2 - 3\alpha + 2)s^2 + (8 - 2\alpha^2)s + (\alpha^2 + 3\alpha + 2)}{(\alpha^2 + 3\alpha + 2)s^2 + (8 - 2\alpha^2)s + (\alpha^2 - 3\alpha + 2)} \quad (13)$$

# Fundamentos teóricos

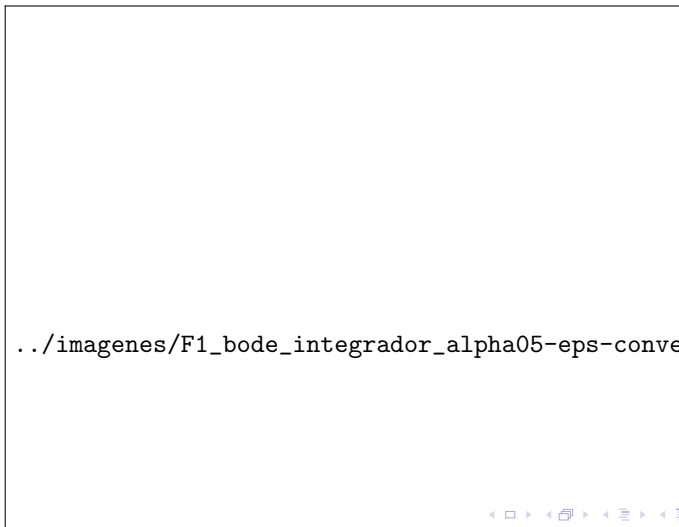
## Ejemplo

Tabla 1: Aproximaciones racionales de  $\frac{1}{s^{0.5}}$

Orden	No. de términos	Aproximación racional
1	2	$\frac{s + 3}{3s + 1}$
2	4	$\frac{s^2 + 10s + 5}{5s^2 + 10s + 1}$
3	6	$\frac{s^3 + 21s^2 + 35s + 7}{7s^3 + 35s^2 + 21s + 1}$
4	8	$\frac{s^4 + 36s^3 + 126s^2 + 84s + 9}{9s^4 + 84s^3 + 126s^2 + 36s + 1}$
5	10	$\frac{s^5 + 55s^4 + 330s^3 + 462s^2 + 165s + 11}{11s^5 + 165s^4 + 462s^3 + 330s^2 + 55s + 1}$

# Fundamentos teóricos

Figura 2: Diagramas de bode comparativos de integrador fraccionario  $\alpha = 0.5$ .







# Fundamentos teóricos

Figura 3: Magnitud normalizada.

../imagenes/F6\_bode\_magnitud\_norm\_c-eps-converted-to.pdf

# Fundamentos teóricos

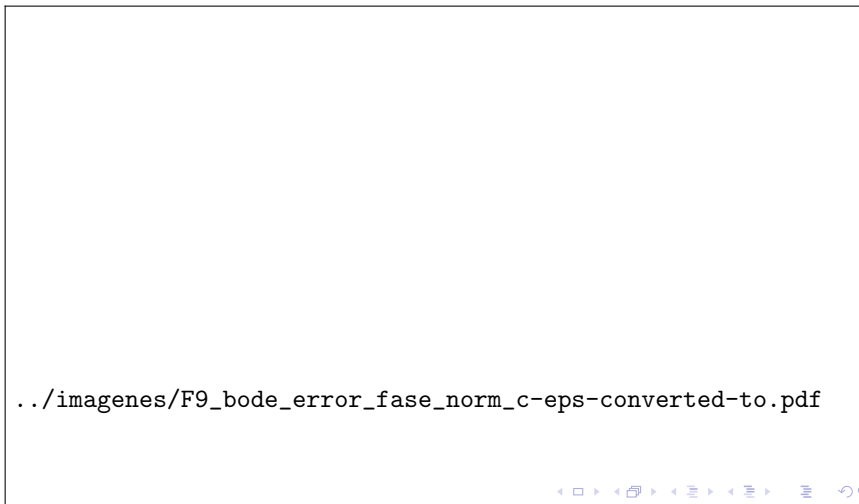
Figura 4: Fase normalizada.

../imagenes/F7\_bode\_fase\_norm\_c-eps-converted-to.pdf

```
../imagenes/F8_bode_error_mag_norm_c-eps-converted-to.pdf
```

# Fundamentos teóricos

Figura 6: Error fase normalizado.





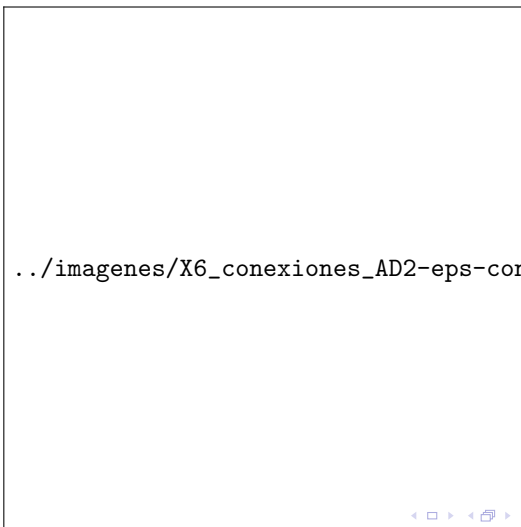
# Implementación de integradores fraccionarios

## ¿Qué es una FPAA?

1. Field Programmable Analog Arrays.
2. Es un dispositivo analógico equivalente a las FPGA.
3. QuadApex Development Board v2.0
4. CAM (Configurable Analog Module)
5. AnadigmDesigner2

# Implementación de integradores fraccionarios

Figura 7: Metodología de conexiones.



# Implementación de integradores fraccionarios

## Configuración de relojes

El diseño se basa en seleccionar correctamente las frecuencias de reloj.

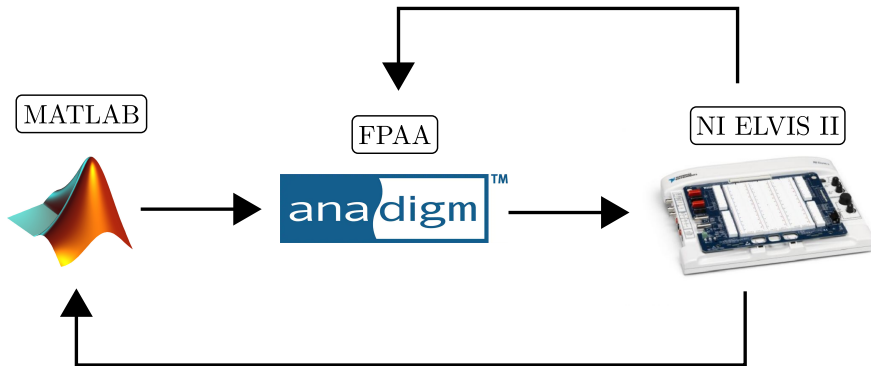
$$\text{Sys1} = \frac{f_c}{m} \quad \text{Sys2} = \frac{f_c}{m} \quad (18)$$

$$\text{Clock } h = \frac{\text{Sys1}}{n} \quad \text{Clock } h = \frac{\text{Sys2}}{n} \quad (19)$$

donde la frecuencia de reloj principal  $f_c = 16$  MHz y donde  $n, m \in [1, 510]$ .



## Implementación de integradores fraccionarios



# Implementación de integradores fraccionarios

## Configuración bilineal polo y cero

### CAM FilterBilinear

$$\frac{V_{\text{out}}(s)}{V_{\text{in}}(s)} = -\frac{G_H(s + 2\pi f_z)}{s + 2\pi f_p} \quad (20)$$

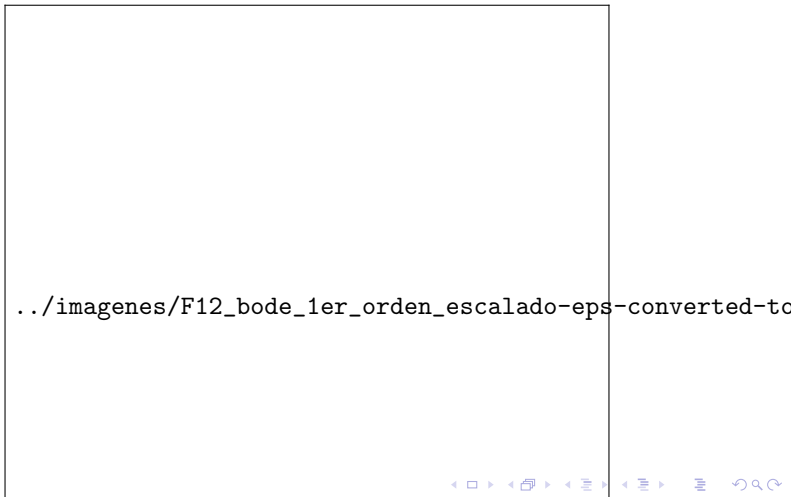
$${}_{(c_2)} \frac{1}{s^\alpha} \approx \frac{(1 - \alpha)s + (1 + \alpha)}{(1 + \alpha)s + (1 - \alpha)} \quad A = \frac{1 - \alpha}{1 + \alpha} \quad (21)$$

podemos reescribir la ecuación (21) de la siguiente manera y escalado en frecuencia:

$${}_{(c_2)} \frac{1}{s^\alpha} \approx \frac{As + 1}{s + A} \implies {}_{(c_2)} \frac{1}{s^\alpha} \approx \frac{As + k_f}{s + Ak_f} \quad (22)$$

# Implementación de integradores fraccionarios

**Figura 8:** Diagrama de bode de aproximación bilineal polo y cero para un integrador fraccionario con  $k_f = 2\pi 1000$  y  $\alpha = 0.5$ .



# Implementación de integradores fraccionarios

## Ecuaciones de metodología bilineal polo y cero.

$$\frac{G_H(s + 2\pi f_z)}{s + 2\pi f_p} = \frac{As + k_f}{s + Ak_f} \quad (23)$$

de la ecuación (23) se deducen las siguientes ecuaciones:

$$G_H = A \quad (24)$$

$$f_p = \frac{Ak_f}{2\pi} \quad (25)$$

$$f_z = \frac{k_f}{2A\pi} \quad (26)$$

$$G_L = \frac{1}{A} \quad (27)$$

# Implementación de integradores fraccionarios

Figura 9: Gráfica de mérito, análisis de orden fraccionario dependiente de  $n$  para implementación con CAM FilterBilinear.

Tabla 3: Valores para configurar un filtro bilineal como integrador de orden fraccionario en el rango de ordenes de 0.1 a 0.95.

$\alpha$	$f_p$ [kHz]	$f_z$ [kHz]	$G_L$	$G_H$
0.10	0.818182	1.222222	1.222222	0.818182
0.15	0.739130	1.352941	1.352941	0.739130
0.20	0.666667	1.500000	1.500000	0.666667
0.25	0.600000	1.666667	1.666667	0.600000
0.30	0.538462	1.857143	1.857143	0.538462
0.35	0.481481	2.076923	2.076923	0.481481
0.40	0.428571	2.333333	2.333333	0.428571
0.45	0.379310	2.636364	2.636364	0.379310
0.50	0.333333	3.000000	3.000000	0.333333
0.55	0.290323	3.444444	3.444444	0.290323
0.60	0.250000	4.000000	4.000000	0.250000
0.65	0.212121	4.714286	4.714286	0.212121
0.70	0.176471	5.666667	5.666667	0.176471
0.75	0.142857	7.000000	7.000000	0.142857
0.80	0.111111	9.000000	9.000000	0.111111
0.85	0.081081	12.333333	12.333333	0.081081
0.90	0.052632	19.000000	19.000000	0.052632

../imagenes/T11\_Analisis\_de\_fre

# Implementación de integradores fraccionarios

## Restricciones

**Tabla 4:** Rango de frecuencias absolutas dependiente de  $F_c$  y el valor de  $n$ .

$F_c$ [kHz]	$n$	min= $F_c/1000$ [kHz]	max= $F_c/10$ [kHz]
16000.0000	1.0000	16.0000	1600.0000
8000.0000	2.0000	8.0000	800.0000
4000.0000	4.0000	4.0000	400.0000
$\vdots$	$\vdots$	$\vdots$	$\vdots$
31.6206	506.0000	0.0316	3.1621
31.4961	508.0000	0.0315	3.1496
31.3725	510.0000	0.0314	3.1373

# Implementación de integradores fraccionarios

**Figura 10:** Implementación de integrador de orden fraccionario utilizando la aproximación de primer orden.



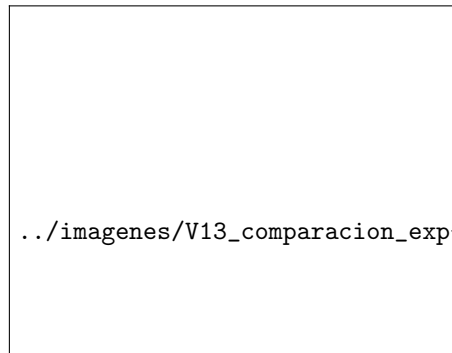
../imagenes/G4\_AD2\_BilinearFilter\_implementation.

# Implementación de integradores fraccionarios

**Figura 11:** Resultados experimentales de respuesta en frecuencia con  $\alpha = 0.5$ .



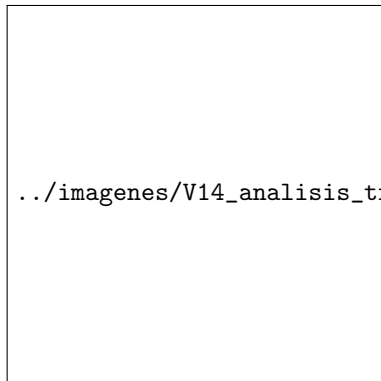
**Figura 12:** Diagrama de bode de comparativo, respuesta teórica contra experimental,  $k_f = 2\pi 1000$  y  $\alpha = 0.5$ .



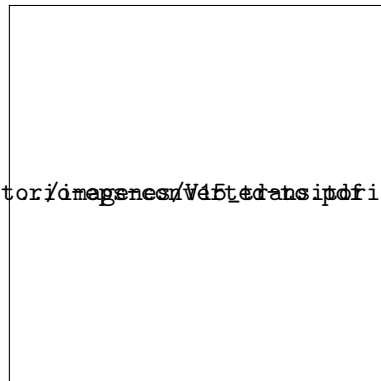


# Implementación de integradores fraccionarios

**Figura 13:** Análisis transitorio de aproximación de primer orden.



**Figura 14:** Medición experimental de análisis transitorio.



../imagenes/V14\_analisis\_transitorio\_realizado.png

# Implementación de integradores fraccionarios

## Configuración bilineal pasabajas y pasaaltas

### CAM FilterBilinear

Pasabajas

$$\frac{V_{out}(s)}{V_{in}(s)} = \pm \frac{2\pi f_0 G_1}{s + 2\pi f_0} \quad (28)$$

Pasaaltas

$$\frac{V_{out}(s)}{V_{in}(s)} = - \frac{G_2 s}{s + 2\pi f_0} \quad (29)$$

Suma:

$$\frac{V_{out}(s)}{V_{in}(s)} = \frac{2\pi f_0 G_1}{s + 2\pi f_0} + \frac{G_2 s}{s + 2\pi f_0} = \frac{G_2 s + G_1 2\pi f_0}{s + 2\pi f_0} \quad (30)$$

# Implementación de integradores fraccionarios

## Ecuaciones de metodología bilineal pabajas y pasaltas.

$$\frac{G_2 s + G_1 2\pi f_0}{s + 2\pi f_0} = \frac{As + k_f}{s + Ak_f} \quad (31)$$

de la ecuación (31) se deducen las siguientes ecuaciones:

$$G_1 = \frac{1}{A} \quad (32)$$

$$G_2 = A \quad (33)$$

$$f_0 = \frac{Ak_f}{2\pi} \quad (34)$$

# Implementación de integradores fraccionarios

Figura 15: Gráfica de mérito, análisis de orden fraccionario dependiente de  $n$  para implementación con suma de filtros.

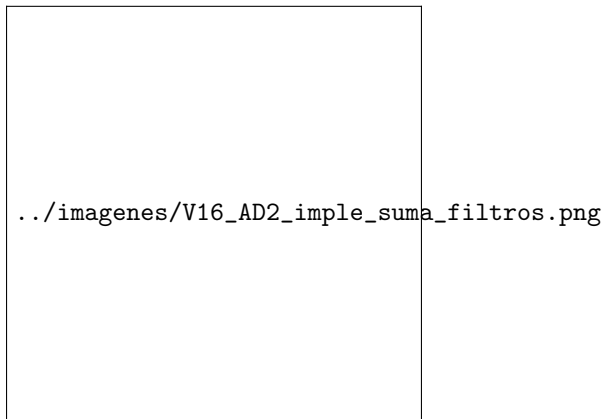
Tabla 5: Valores para configurar implementación suma de pasabajas y pasaltas de ordenes de 0.1 a 0.95.

$\alpha$	$G_1$ [LP]	$G_2$ [HP]	$f_0$ [kHz]
0.10	1.222222	0.818182	0.818182
0.15	1.352941	0.739130	0.739130
0.20	1.500000	0.666667	0.666667
0.25	1.666667	0.600000	0.600000
0.30	1.857143	0.538462	0.538462
0.35	2.076923	0.481481	0.481481
0.40	2.333333	0.428571	0.428571
0.45	2.636364	0.379310	0.379310
0.50	3.000000	0.333333	0.333333
0.55	3.444444	0.290323	0.290323
0.60	4.000000	0.250000	0.250000
0.65	4.714286	0.212121	0.212121
0.70	5.666667	0.176471	0.176471
0.75	7.000000	0.142857	0.142857
0.80	9.000000	0.111111	0.111111
0.85	12.333333	0.081081	0.081081
0.90	19.000000	0.052632	0.052632

../imagenes/T12\_Analisis\_de\_fre

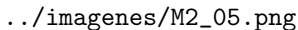
# Implementación de integradores fraccionarios

**Figura 16:** Implementación de integrador de orden fraccionario utilizando la aproximación de primer orden configuración suma de filtros.

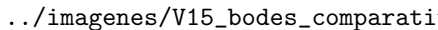


# Implementación de integradores fraccionarios

**Figura 17:** Resultados experimentales de respuesta en frecuencia con  $\alpha = 0.5$  configuración de dos filtros y punto suma.



**Figura 18:** Diagrama de bode de comparativo, respuesta teórica contra experimental configuración de dos filtros y punto suma,  $k_f = 2\pi 1000$  y  $\alpha = 0.5$ .

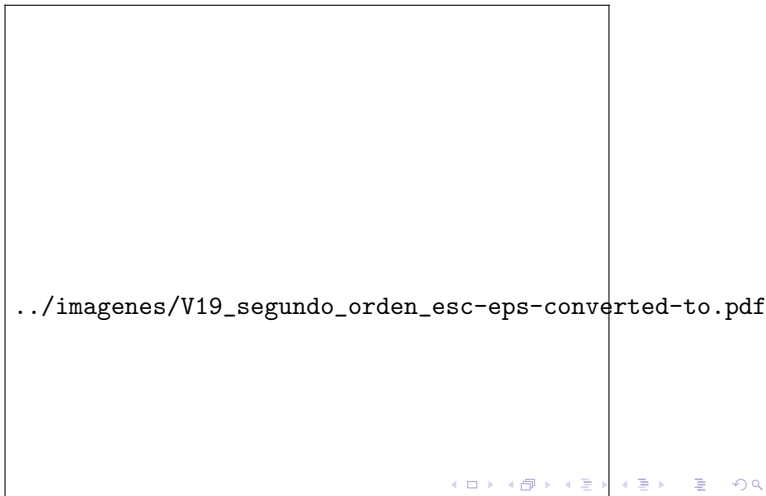


## CAM FilterBiquad

$${}_{(c_4)} \frac{1}{s^\alpha} \approx \frac{Ds^2 + Cs + 1}{s^2 + Cs + D} \implies N(s) = \frac{Ds^2 + Ck_f s + k_f^2}{s^2 + Ck_f s + Dk_f^2} \quad (38)$$

# Implementación de integradores fraccionarios

**Figura 19:** Diagrama de bode de aproximación bicuadrático polo y cero para un integrador fraccionario con  $k_f = 2\pi 1000$  y  $\alpha = 0.5$ .





# Implementación de integradores fraccionarios

Ecuaciones de metodología bicuadrático polo y cero 1.

$$\frac{G_H \left( s^2 + \frac{2\pi f_z}{Q_z} s + 4\pi^2 f_z^2 \right)}{s^2 + \frac{2\pi f_p}{Q_p} s + 4\pi^2 f_p^2} = \frac{Ds^2 + Ck_f s + k_f^2}{s^2 + Ck_f s + Dk_f^2} \quad (39)$$

$$G_H = D \quad G_L = \frac{1}{D} \quad (40)$$

$$f_z = \frac{k_f}{2\pi D^{\frac{1}{2}}} \quad f_p = \frac{D^{\frac{1}{2}} k_f}{2\pi} \quad (41)$$

$$Q_z = \frac{D^{\frac{1}{2}}}{C} \quad Q_p = \frac{D^{\frac{1}{2}}}{C} \quad (42)$$

# Implementación de integradores fraccionarios

## Ecuaciones de metodología bicuadrático polo y cero 2.

$$\frac{G_H \left( s^2 + \frac{2\pi f_z}{Q_z} s + 4\pi^2 f_z^2 \right)}{s^2 + \frac{2\pi f_p}{Q_p} s + 4\pi^2 f_p^2} = \frac{Ds^2 + Ck_f s + k_f^2}{s^2 + Ck_f s + Dk_f^2} \quad (43)$$

Elegir manualmente los factores de calidad  $Q_z$  y  $Q_p$  de modo que  $\gamma = \frac{Q_z}{Q_p}$  y surjan las siguientes ecuaciones:

$$G_H = D \quad G_L = \frac{\gamma^2}{D} \quad (44)$$

$$f_z = \frac{Ck_f Q_z}{D2\pi} \quad f_p = \frac{Ck_f Q_p}{2\pi} \quad (45)$$

# Implementación de integradores fraccionarios

Figura 20: Gráfica de mérito, análisis de orden fraccionario dependiente de  $n$  para implementación con CAM FilterBiquad teórica INCORRECTA.

Tabla 6: Valores para configurar implementación de segundo orden FilterBiquad de ordenes de 0.1 a 0.95.

$\alpha$	$G_H$	$G_L$	$f_z$ [kHz]	$f_p$ [kHz]	$Q_z = Q_p$
0.10	0.740260	1.350877	1.162272	0.860383	0.249058
0.15	0.635996	1.572337	1.253929	0.797494	0.247870
0.20	0.545455	1.833333	1.354006	0.738549	0.246183
0.25	0.466667	2.142857	1.463850	0.683130	0.243975
0.30	0.397993	2.512605	1.585120	0.630867	0.241214
0.35	0.338061	2.958042	1.719896	0.581431	0.237858
0.40	0.285714	3.500000	1.870829	0.534522	0.233854
0.45	0.239972	4.167155	2.041361	0.489869	0.229132
0.50	0.200000	5.000000	2.236068	0.447214	0.223607
0.55	0.165085	6.057471	2.461193	0.406307	0.217164
0.60	0.134615	7.428571	2.725541	0.366900	0.209657
0.65	0.108062	9.253968	3.042034	0.328727	0.200889
0.70	0.084967	11.769231	3.430631	0.291492	0.190591

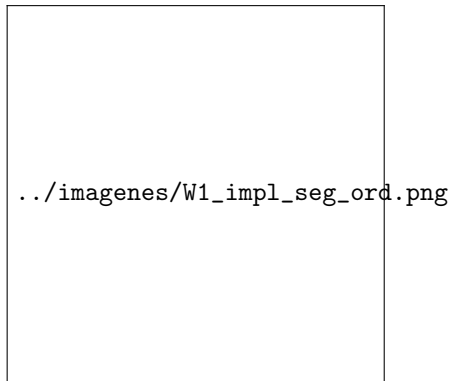
imagenes/W4\_analisis\_frecuen

# Implementación de integradores fraccionarios

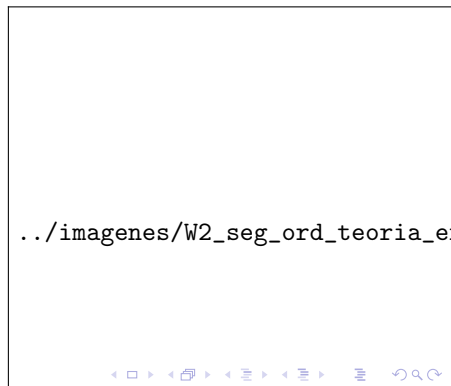
**Figura 21:** Implementación de integrador de orden fraccionario utilizando la aproximación de segundo orden.

# Implementación de integradores fraccionarios

Figura 22: Resultados experimentales de respuesta en frecuencia con  $\alpha = 0.5$ .



**Figura 23:** Diagrama de bode de comparativo, respuesta teórica contra experimental,  $k_f = 2\pi 1000$  y  $\alpha = 0.5$ .



## Resumen

**Tabla 7:** Resumen de configuraciones para aproximación de integradores fraccionarios utilizando la CFE.

Configuración	Rango $\alpha$	Ventajas	Desventajas
Bilineal polo y cero	[0.01, 0.81]	<p>Consume pocos recursos.</p> <p>Facilidad de implementación.</p> <p>Proceso de diseño sencillo.</p>	<p>Mayor error para <math>\alpha</math> grande.</p> <p>Menor rango.</p>
Bilineal LP y HP	[0.01, 0.93]	<p>Mayor rango.</p> <p>Ajuste de ganancia flexible.</p> <p>Proceso de diseño sencillo.</p>	<p>Consume más recursos.</p> <p>Mayor error que configuración polo y cero.</p>
Bicuadrático	[0.01, 0.6]	<p>Menor error.</p> <p>Oportunidad de nuevos esquemas de diseño.</p>	<p>Proceso de diseño complejo.</p> <p>Menor rango.</p>



# Oscilador caótico

## Función deestabilizadora

$$f(x) = \begin{cases} k & \text{si } x > \beta \\ sx & \text{si } -\beta \leq x \leq \beta \\ -k & \text{si } x < -\beta \end{cases} \quad (47)$$

donde el parámetro  $k$  representa la saturación del sistema,  $\beta$  es el punto de quiebre en la función y  $s$  es la pendiente entre tramos.

Figura 24: Función no lineal saturada de dos enrollamientos.

../imagenes/Z1\_saturacion-eps-converted-to.pdf



# Oscilador caótico

Figura 25: Solución de sistema de orden fraccionario.

../imagenes/Z2\_bloques-eps-converted-to.pdf

# Oscilador caótico

## Implementación de oscilador caótico

- Utilizando filtro bilineal polo y cero.
- $\alpha = 0.8$ .
- Dos enrollamientos.

# Oscilador caótico

Figura 26: Implementación en AD2 configuración bilineal polo y cero.

../imagenes/Y1\_implementacion.png





# Oscilador caótico

## Implementación de oscilador caótico

- Utilizando filtro bilineal en suma de filtros pasabajas y pasaaltas.
- $\alpha = 0.8$ .
- Dos enrollamientos.

# Oscilador caótico

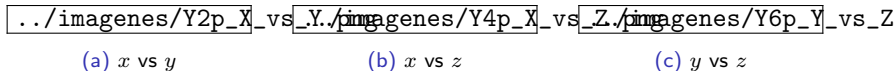
Figura 31: Implementación en AD2 configuración bilineal pasabajas y pasaltas.



# Oscilador caótico

## Topología de suma de filtros

Figura 32: Vistas de plano fase del comportamiento del oscilador caótico con  $\alpha = 0.8$  y dos enrollamientos.








# Conclusión


## Conclusiones

- 3 topologías de diseño para la síntesis de integradores fraccionarios.
  - Primer orden con filtro bilineal pasabajas:
  - Primer orden con suma de filtros bilineales, pasabajas y pasaaltas.
  - Segundo orden con filtro bicuadrático
- Integradores de orden fraccionario con rangos de  $[0.01, 0.93]$ .
- Creación de metodologías de diseño en hardware y software:
  - Conexiones y configuraciones del FPAA detalladas y simplificadas.
  - Programas en MATLAB para generar tablas de diseño y gráficas de mérito.
- Aplicaciones futuras:
  - Controladores de orden fraccionario.
  - Sistemas de encriptación.


# Bibliografía I




I. Petráš, *Fractional-Order Nonlinear Systems*. Springer Berlin Heidelberg, 2011.




C. D. Olds, *Continued Fractions*. The Mathematical Association of America, 2009.



I. Petráš and J. Terpak, “Fractional calculus as a simple tool for modeling and analysis of long memory process in industry,” *Mathematics*, vol. 7, p. 511, jun 2019.








C. Li, W. J.-C. Thio, J. C. Sprott, H. H.-C. lu, and Y. Xu, “Constructing infinitely many attractors in a programmable chaotic circuit,” *IEEE Access*, vol. 6, pp. 29003–29012, 2018.





B. T. Krishna and K. V. V. S. Reddy, “Active and passive realization of fractance device of order 1/2,” *Active and Passive Electronic Components*, vol. 2008, pp. 1–5, 2008.






# Bibliografía II

- 
 B. Krishna, “Studies on fractional order differentiators and integrators: A survey,” *Signal Processing*, vol. 91, pp. 386–426, Mar. 2011.
- 
 J. G. Lu and G. Chen, “A note on the fractional-order chen system,” *Chaos, Solitons & Fractals*, vol. 27, pp. 685–688, feb 2006.
- 
 M. S. Charles Alexander, *Fundamentals of Electric Circuits*. McGraw-Hill Education, 2016.
- 
 L. P. Huelsman and P. E. Allen, *Introduction to the Theory and Design of Active Filters (Electrical Engineering Series)*. McGraw-Hill Book Company, 1980.
- 
 J. M. Muñoz-Pacheco, “Infinitely many hidden attractors in a new fractional-order chaotic system based on a fracmemristor,” *The European Physical Journal Special Topics*, vol. 228, pp. 2185–2196, oct 2019.





## Bibliografía III

-  J. M. M. Pacheco and E. T. Cuautle, *Electronic Design Automation of Multi-Scroll Chaos Generators*. BENTHAM SCIENCE PUB, 2010.
-  A. Buscarino, L. Fortuna, M. Frasca, and G. Sciuto, *A Concise Guide to Chaotic Electronic Circuits*. Springer-Verlag GmbH, 2014.
-  S. W. Khubalkar, A. S. Junghare, M. V. Aware, A. S. Chopade, and S. Das, "Demonstrative fractional order – PID controller based DC motor drive on digital platform," *ISA Transactions*, vol. 82, pp. 79–93, nov 2018.
-  A. Tepljakov, E. A. Gonzalez, E. Petlenkov, J. Belikov, C. A. Monje, and I. Petráš, "Incorporation of fractional-order dynamics into an existing PI/PID DC motor control loop," *ISA Transactions*, vol. 60, pp. 262–273, jan 2016.





## Bibliografía IV

-  S. Das, *Functional Fractional Calculus for System Identification and Controls*.  
Springer-Verlag GmbH, 2007.
-  M. D. Ortigueira, *Fractional Calculus for Scientists and Engineers*.  
Springer-Verlag GmbH, 2011.
-  K. S. Adel S. Sedra, *Microelectronic Circuits*.  
Oxford University Press Inc, 2015.
-  R. Caponetto and D. Porto, "Analog implementation of non integer order integrator via field programmable analog array," *IFAC Proceedings Volumes*, vol. 39, pp. 107–111, jan 2006.
-  I. S. Jesus and J. A. T. Machado, "Development of fractional order capacitors based on electrolyte processes," *Nonlinear Dynamics*, vol. 56, pp. 45–55, jun 2008.

## Bibliografía V




-  K. Biswas, S. Sen, and P. Dutta, "Realization of a constant phase element and its performance study in a differentiator circuit," *IEEE Transactions on Circuits and Systems II: Express Briefs*, vol. 53, pp. 802–806, sep 2006.
-  N. Fragoulis, G. Souliotis, D. Besiris, and K. Giannakopoulos, "Field programmable analogue array design based on the wave active filter design method," *AEU - International Journal of Electronics and Communications*, vol. 63, pp. 889–895, oct 2009.
-  Y. Chen, I. Petras, and D. Xue, "Fractional order control - a tutorial," *American Control Conference*, 2009.
-  E. Gunay and K. Altun, "A performance comparison study of programmable platforms: FPAA and FPGA implementation of COOK communication system," *European Conference on Circuit Theory and Design (ECCTD)*, sep 2017.

# Bibliografía VI

-  A. Charef, "Analogue realisation of fractional-order integrator, differentiator and fractional  $PI^\lambda D^\mu$  controller," *IEE Proceedings - Control Theory and Applications*, vol. 153, pp. 714–720, nov 2006.
-  L. Dorcak, J. Terpak, I. Petras, J. Valsa, and E. Gonzalez, "Comparison of the electronic realization of the fractional-order system and its model," *Proceedings of the 13th International Carpathian Control Conference (ICCC)*, may 2012.
-  A. Tepljakov, E. Petlenkov, and J. Belikov, "Efficient analog implementations of fractional-order controllers," *Proceedings of the 14th International Carpathian Control Conference (ICCC)*, may 2013.
-  B. Kumari and N. Gupta, "Experimental investigation on chaotic oscillator coupled dielectric resonator antenna for medical applications," *IEEE International Conference on Antenna Innovations & Modern Technologies for Ground, Aircraft and Satellite Applications (iAIM)*, nov 2017.



## Bibliografía VII

-  F. Jiang, X. Wang, J. Jin, and D. Yang, *The application of chaotic duffing oscillators to ballistocardiograph signal detection*. IEEE, jul 2010.
-  G. Wang, D. Chen, J. Lin, and X. Chen, "The application of chaotic oscillators to weak signal detection," *IEEE Transactions on Industrial Electronics*, vol. 46, pp. 440–444, apr 1999.
-  V. Tepin, *Self-parametric chaotic oscillators for secure communication systems*. St. Petersburg State Polytech. Univ, 2002.

# Introducción

## ¿Qué es el caos?

El caos se refiere a un tipo de comportamiento dinámico complejo que posee algunas características muy especiales:

- Se describe mediante un conjunto de ecuaciones diferenciales ordinarias.
- Posee extrema sensibilidad a pequeñas variaciones.
- Presenta trayectorias encerradas en el espacio de fase.

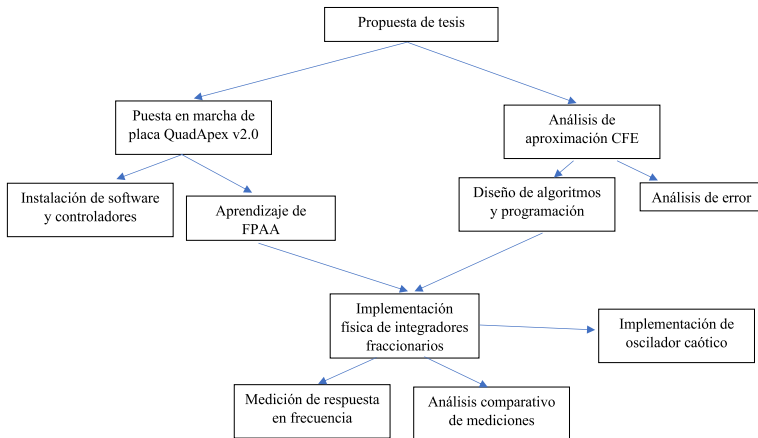
# Introducción

## Aplicaciones de osciladores caóticos

- Técnicas de modulación.
- Sistemas de comunicación.
- Encriptación de datos usando caos.
- Modelado de sistemas biológicos.
- Reacciones químicas.
- Toma de decisiones críticas en política, economía y eventos militares.



# Diagrama de bloques



Switch	Jumper	Cables externos
S3 2 ↓	J8	FPAA1 O3 → FPAA3 I5
S5 2 ↓	J9	FPAA1 I5 → FPAA3 O5
S4 2 ↑	J10	
S6 2 ↑	ACT1	
S7 2 ↑	ACT2	
S12	ACT3	
S13	ACT4	